

образуются дополнительные площиади, обработка которых требует дополнительных вычислительных затрат.

2. Дополнительные площиади в углах многоугольников имеют максимальные значения при генерации изображения из треугольных граней. При увеличении количества ребер граней дополнительные площиади уменьшаются.

3. С ростом производительности ССВО влияние дополнительных площиадей в углах многоугольников возрастает. Поэтому при реализации ССВО высокой производительности необходимо принимать специальные меры для удаления из обработки дополнительных площиадей в углах многоугольников.

СПИСОК ЛИТЕРАТУРЫ

1. Ковалев А. М., Токарев А. С. К оценке производительности алгоритмов фильтрации синтезированных изображений // Автометрия.—1989.—№ 2.
2. Fuchs H. Fast spheres, shadows, textures, and image enhancement in pixel-planes // Comput. Graph.—1985.—19(3).
3. Carpenter L. The a-buffer, an antialiased hidden surface method // Comput. Graph.—1984.—18(3).
4. Grow F. C. The aliasing problem in computer generated shaded images // CACM.—1977.— N 11.
5. Catmull E. An analytic visible surface algorithm for independent pixel processing // Comput. Graph.—1984.—18(3).

Поступила в редакцию 5 февраля 1991 г.

УДК 681.3.06

М. М. Лагиева, В. М. Хачумов, Д. В. Шабалов

(Махачкала)

МЕТОД ПОСТРОЕНИЯ ЛИНИЙ ПОЛОЖЕНИЯ ДЛЯ ИДЕНТИФИКАЦИИ ПОЛУТОНОВЫХ ИЗОБРАЖЕНИЙ

Предлагается алгоритм построения взвешенных линий и векторов, задающих ориентацию и линейные размеры полутоночных изображений. Приводятся примеры измерения углов поворота между двумя положениями изображения.

Наличие геометрических преобразований в системах с техническим зрением приводит к существенному различию эталонов и реальных изображений, что затрудняет решение задачи идентификации [1, 2].

В настоящее время сложилось несколько подходов к сравнению преобразованных изображений. Основными являются методы, использующие корреляционные алгоритмы [3, 4], байесовский подход и статистический принцип инвариантности [5, 6], нормализацию [7]. Один из эффективных способов нормализации группы аффинных преобразований — построение инвариантных прямых, связывающих входное и эталонное изображения [7].

В рамках данного подхода предлагается один из алгоритмов построения линий положения, позволяющий определять ориентацию полутоночных изображений на плоскости и вырабатывать стратегию их нормализации для последующей идентификации.

Под полутоночным изображением принято понимать [4] двумерное дискретное поле (матрицу) яркостей (интенсивностей), представленное в виде функции $m(x, y)$, где m — яркость в точке (x, y) . Предположим, что над матрицей определены такие преобразования, как сжатие, растяжение вдоль

осей, а также сдвиги и повороты. Точка дискретного поля вне объекта не подсвечивается, т. е. $m = 0$.

В дальнейшем для удобства примем, что любой исследуемый объект задается перечислением его n точек, причем для каждой i -й точки определены координаты x_i, y_i и яркость m_i . Ориентацию объекта на экранной плоскости зададим линией положения. Линия проводится таким образом, чтобы сумма S произведений квадратов расстояний от точек изображения до линии положения эквивалентной яркости (веса) была минимальной (по аналогии с известным методом наименьших квадратов):

$$S = \sum_{i=1}^n s_i^2 m_i, \quad (1)$$

где $s_i = \sqrt{(\tilde{x} - x_i)^2 + (\tilde{y} - y_i)^2}$, x, y — координаты текущей точки пересечения линии положения и прямой, проходящей перпендикулярно к ней через точку (x_i, y_i) . Пусть уравнение линии положения есть $y = a_0 + a_1 x$, тогда

$$\begin{aligned} \tilde{x} &= (a_1 y_i + x_i - a_0 a_1) / (a_1^2 + 1), \\ \tilde{y} &= a_0 + a_1 (a_1 y_i + x_i - a_0 a_1) / (a_1^2 + 1), \end{aligned}$$

откуда

$$\begin{aligned} (\tilde{x} - x_i) &= -a_1 (a_0 + a_1 x_i - y_i) / (a_1^2 + 1), \\ (\tilde{y} - y_i) &= (a_0 + a_1 x_i - y_i) / (a_1^2 + 1), \\ s_i &= (a_0 + a_1 x_i - y_i) / \sqrt{a_1^2 + 1}. \end{aligned}$$

Таким образом, выражение (1) приводится к виду

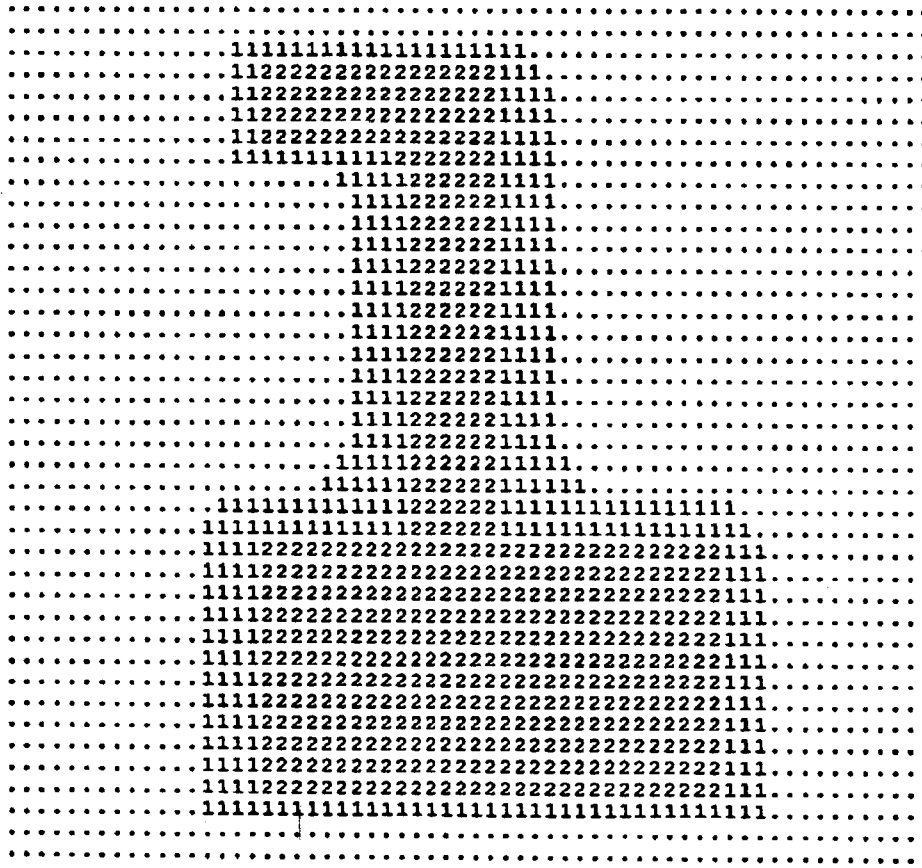
$$S = \sum_{i=1}^n \left[(a_0 + a_1 x_i - y_i) / \sqrt{a_1^2 + 1} \right]^2 m_i. \quad (2)$$

Очевидно, что S является функцией переменных a_0, a_1 , причем нужно найти такие значения a_0, a_1 , при которых величина S достигает минимума. Достаточное условие экстремума данной функции (2) — равенство нулю частных производных $dS/da_0, dS/da_1$:

$$\begin{aligned} dS/da_0 &= 2 \sum_{i=1}^n m_i \left[(a_0 + a_1 x_i - y_i) / \sqrt{a_1^2 + 1} \right] = 0, \\ dS/da_1 &= 2 \sum_{i=1}^n m_i \left[(a_0 + a_1 x_i - y_i) / \sqrt{a_1^2 + 1} \right] \times \\ &\times \left\{ \left[x_i (a_1^2 + 1) - a_1 (a_0 + a_1 x_i - y_i) \right] / \left[(a_1^2 + 1) \sqrt{a_1^2 + 1} \right] \right\} = 0. \end{aligned}$$

После раскрытия скобок и проведения необходимых преобразований получим

$$a_0 \sum_{i=1}^n m_i + a_1 \sum_{i=1}^n x_i m_i - \sum_{i=1}^n m_i y_i = 0, \quad (3)$$



Puc. I

$$\begin{aligned}
 a_0 \sum_{i=1}^n m_i x_i + a_1 \sum_{i=1}^n m_i (x_i^2 + y_i^2) - a_1 a_0^2 \sum_{i=1}^n m_i - a_0 a_1^2 \sum_{i=1}^n m_i x_i + \\
 + 2a_1^2 \sum_{i=1}^n m_i x_i y_i - \sum_{i=1}^n m_i x_i y_i = 0. \tag{4}
 \end{aligned}$$

Система из линейного (3) и нелинейного (4) уравнений решается методом подстановки. Из уравнения (3) получим выражение для a_0 :

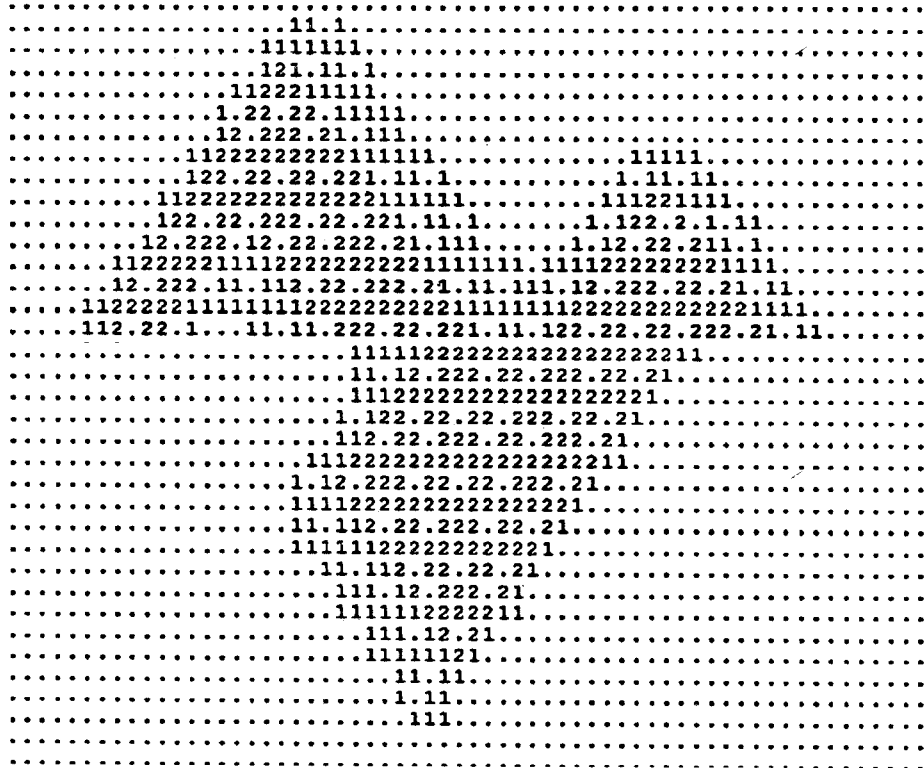
$$a_0 = \left(\sum_{i=1}^n m_i y_i - a_1 \sum_{i=1}^n m_i x_i \right) / \sum_{i=1}^n m_i. \tag{5}$$

Подставляя (5) в уравнение (4), получим квадратное уравнение вида

$$pa_1^2 + qa_1 - p = 0, \tag{6}$$

где

$$p = \sum_{i=1}^n m_i \sum_{i=1}^n m_i x_i y_i - \sum_{i=1}^n m_i y_i \sum_{i=1}^n m_i x_i,$$



Угол равен $44,63^\circ$

Рис. 2

$$q = \sum_{i=1}^n m_i \left(\sum_{i=1}^n m_i x_i^2 - \sum_{i=1}^n m_i y_i^2 \right) + \left(\sum_{i=1}^n m_i y_i \right)^2 - \left(\sum_{i=1}^n m_i x_i \right)^2.$$

Решение системы (3), (4) дает две пары значений коэффициентов $a_0 a_1$, из которых следует выбрать ту, которая удовлетворяет минимуму критерия (2).

Линия положения задает ориентацию объекта с точностью до 180° . Необходимые уточнения по расположению могут быть дополнительно внесены путем, например, подсчета числа точек объекта, находящихся в разных полу-плоскостях дискретного поля, разделяемых искомой линией.

Интересным свойством линии положения является ее прохождение через центр «тяжести» изображения, определяемый по формулам

$$X = \sum_{i=1}^n m_i x_i / \sum_{i=1}^n m_i, \quad Y = \sum_{i=1}^n m_i y_i / \sum_{i=1}^n m_i.$$

В этом можно убедиться путем подстановки величин X , Y и a_0 в уравнение линии положения, которое обращается при этом в тождество.

.....
....11..
...112.11..
..112.21..
.11.22.21..
.12222221.....
..12.22.21..
..122222211..
....1.22.21..
....1112222211
.....11.22.221.....
....1.112.22.21..
....11111222222211
....11.11.22.222.21..
....11.....11111222222222111111.....
....11.1.....11.11.22.22.222.211.1.....
....1.111.....1.111.22.22.222.211.1.....
....11111111.....1111122222222222111111.....
....112222222222222222222222111111.....
....12.22.222.22.222.22.221.11.1.....
....122.22.222.22.22.222.21.11.....
....1122222222222222222222111111.....
....12.222.22.222.22.211.11.....
....11222222222222222222221111.....
....12.222.22.22.222.21.1.....
....122.22.222.22.222.11.....
....1122222222222222221111.....
....12.222.22.22.22.211.11.....
....1122222222222222221111.....
....12.222.22.22.22.21.1.....
....1122222222222222221111.....
....12.22.222.22.222.21.1.....
....122.22.222.22.22.21.....
....11222222222222221111.....
....12.222.22.221.11.....
....1122222222211111.....
....12.222.21.11.....
....122.22.111.....
....1122211111.....
....121.11.....
....111111.....
....11.....

Угол равен $134,98^\circ$

Puc. 3

На основании полученных соотношений была разработана процедура поиска угла между двумя положениями изображения, результаты моделирования которой отражены в таблице, где Φ_1 и Φ_2 — углы поворота, полученные в результате измерений соответственно для неравностороннего треугольника, представленного 43 точками, и прямоугольника размерностью 5×7 при $m = 1$; Φ — истинный угол поворота.

Имеющие место погрешности измерений связаны с искажением линейных размеров изображений при их повороте и размещении в дискретном поле и зависят от размерности дискретного изображения.

Для нахождения линейных размеров полутонаовых изображений с использованием линий

Φ , град	Φ_1 , град	Φ_2 , град
15	17,57	21,52
30	31,55	26,92
45	43,18	45
60	58,64	61,14

положения введем понятие вектора положения $F1F2$, направленного из точки $F1$ в $F2$. При этом предполагается, что точка $F1$ совмещается с центром X , Y , а $F2$ лежит на линии положения. Длина вектора должна определять некоторый обобщенный линейный размер изображения, т. е. его масштаб. Следует отметить, что выбранный нами критерий (1) является инвариантом по отношению к поворотам и сдвигам полутонового изображения, что определяется выражением (2). Если принять процедуру расширения следующим образом: число точек изображения и их яркости остаются неизменными, а при сжатии яркость точки дискретного поля определяется суммой яркостей совмещенных в ней точек объекта, то величина S может служить характеристикой линейного размера изображения, поскольку она пропорциональна квадрату коэффициента масштабирования. Следовательно, длине вектора $F1F2$ можно присвоить (поставить в соответствие) значение S .

Изложенное позволяет выбрать стратегию приведения параметров эталона к исследуемому изображению. Эталон и изображение совмещаются своими центрами, далее производится поворот эталона до совпадения линий положения и его масштабирование до совпадения векторов $F1F2$.

На рис. 1—3 приведен пример идентификации полутонового изображения размерностью 64×64 , повернутого относительно эталона (см. рис. 1) на 45° (левый поворот — рис. 2, правый — рис. 3). Здесь яркость каждой точки представляется соответствующей цифрой. Как видно из рисунков, вычисление углов поворота с использованием данного метода дает относительную погрешность в среднем $0,4\%$ с учетом возможной коррекции результатов измерения на 180° .

Предложенный метод построения линий положения для идентификации полутоновых изображений сочетает относительную простоту реализации с высокой достоверностью получаемых результатов. Программная реализация алгоритмов сравнения объекта с эталонами, выполненная применительно к ПЭВМ IBM PC/AT, отличается компактностью и хорошим быстродействием.

СПИСОК ЛИТЕРАТУРЫ

1. Ефимов В. М., Резник А. Л. Алгоритмы идентификации фрагментов двух изображений, инвариантных к повороту // Автометрия.—1984.—№ 5.
2. Аннин С. Н., Ковтонюк Н. Ф., Костюк А. В., Одиноков С. Б. Метод сравнения смешанных изображений // Автометрия.—1990.—№ 3.
3. Бочкарев А. М. Корреляционно-экстремальные системы навигации // Зарубеж. радиоэлектрон.—1981.—№ 9.
4. Дуда Р., Харт П. Распознавание образов и анализ сцен.—М.: Мир, 1976.
5. Леман Э. Проверка статистических гипотез.—М.: Наука, 1979.
6. Тихонов Д. В., Экало А. В. Инвариантная к геометрическим искажениям идентификация элементов изображений точечной динамической сцены // Автометрия.—1990.—№ 3.
7. Путятин Е. П., Аверин С. И. Обработка изображений в робототехнике.—М.: Машиностроение, 1990.

Поступила в редакцию 11 марта 1991 г.

УДК 621.396.96

А. С. Кузнецов

(Санкт-Петербург)

ВЫБОР ЧАСТОТ ДЛЯ АВТОМАТИЧЕСКОГО РАСПОЗНАВАНИЯ ИЗДЕЛИЙ С ПОМОЩЬЮ КОРОТКОИМПУЛЬСНОГО РАДИОЛОКАЦИОННОГО ИЗМЕРИТЕЛЯ

Рассмотрена методика выбора наиболее информативных для распознавания групп частот при зондировании проводящих объектов короткими радиоимпульсами. На основании экспериментальных данных проанализирована эф-